
Выбор интерпретируемых рекуррентных моделей глубокого обучения

Гапонов Максим, Бахтеев Олег, Яковлев Константин, Стрижов Вадим
Московский физико-технический институт
{gaponov.me, bakhteev, strijov}@phystech.edu

Аннотация

Рассматривается задача интерпретации рекуррентных нейронных сетей. Под интерпретируемостью модели понимается возможность получить линейную зависимость выходных данных от входных. Предлагается обобщить метод OpenBox, предназначенный для интерпретации нейронных сетей с кусочно-линейными функциями активации. В данном методе нейронная сеть представляется в виде ансамбля интерпретируемых линейных классификаторов, каждый из которых определён на выпуклом многограннике. Поэтому интерпретации близких объектов согласованны. Для проверки работоспособности предложенного метода проводится эксперимент на выборке IMDB Review dataset.

Abstract

The problem of interpretation of recurrent neural networks is considered. The interpretability of the model is understood as the ability to obtain a linear dependence of the output data on the input data. It is proposed to generalize the OpenBox method designed for the interpretation of neural networks with piecewise linear activation functions. In this method, the neural network is represented as an ensemble of interpreted linear classifiers, each of which is defined on a convex polyhedron. Therefore, the interpretations of close objects are consistent. To test the operability of the proposed method, an experiment is conducted on a sample of the IMDB Review dataset.

Ключевые слова: Интерпретация моделей · Рекуррентные нейронные сети · Кусочно-линейные модели

1 Введение

В работе рассматривается метод интерпретации рекуррентных моделей глубокого обучения. Такие модели используются для обработки последовательностей данных [1]. Однако

из-за большого числа слоёв в нейронной сети она работает по принципу "чёрного ящика". То есть нет явной зависимости выходных данных от входных. Работа посвящена построению и выбору таких интерпретируемых моделей для рекуррентных нейронных сетей с кусочно-линейными функциями активации.

Рекуррентная нейронная сеть представляет из себя последовательность из слоёв нейронов: входного слоя, скрытых слоёв и выходного слоя [2]. Отличительной особенностью от нейронных сетей являются циклические связи между нейронами. Такие связи позволяют запоминать состояния для обработки последовательностей данных.

Интерпретация должна быть точной и согласованной [3]. Интерпретация называется точной, предсказания интерпретируемой модели похожи на предсказания исходной. Интерпретация называется согласованной, если интерпретации близких объектов похожи, то есть значимости признаков близки.

Анализ зависимости предсказания модели от входных данных в рекуррентных нейронных сетях — открытая проблема. Методы, рассмотренные в работах [4, 5, 6, 7, 8, 9] являются либо неточными, то есть построенные интерпретируемые модели не отвечают поведению исходной модели, либо несогласованными, то есть значимости признаков для близких объектов значительно отличаются.

В работах [4, 5] рассмотрены методы, основанные на интерпретации признаков, выученных скрытыми слоями. Такой подход отражает поведение скрытых слоёв, но не показывает поведение сети в целом. В работах [6, 7] предлагаются методы подражания модели. В этом подходе строится модель с похожим на исходную поведением. Построенная модель имеет более простую структуру, поэтому проще интерпретируется. Однако из-за недостаточно сложной структуры построенная модель недостаточно хорошо приближает исходную. Наконец, в работах [8, 9] рассмотрены методы локальной интерпретации, в которых происходит анализ поведения модели в окрестности исходного объекта. В таком подходе получается точная интерпретация одного объекта, однако интерпретации близких объектов могут существенно отличаться. Таким образом, данный подход не предоставляет согласованные интерпретации.

Предложенный в данной работе подход является обобщением метода OpenBox для интерпретации нейронных сетей с кусочно-линейными функциями активации [3]. Нейронная сеть представляется в виде ансамбля линейных классификаторов. Каждый из них классифицирует объекты внутри выпуклого многогранника в пространстве признаков, поэтому интерпретации получаются согласованными.

На выборке IMDB Movie Review Dataset [10] проведён вычислительный эксперимент для анализа качества метода, а также для проверки интерпретаций на точность и согласованность.

2 Задача выбора интерпретируемых моделей

Рассмотрим рекуррентную нейронную сеть $\mathbf{f}(\mathbf{x})$ с кусочно-линейными функциями активации. Входные данные обозначим через $\mathbf{x} \in \mathbf{X}$, где $\mathbf{X} \subset \mathbb{R}^d$ — пространство признаков. Выходные данные обозначим через $\mathbf{y} \in \mathbf{Y}$, где $\mathbf{Y} \subset \mathbb{R}^k$ — пространство предсказаний.

Модель представляет из себя функцию классификации $\mathbf{f} : \mathbf{X} \rightarrow \mathbf{Y}$. Из-за большого числа параметров невозможно получить явную зависимость значения функции \mathbf{f} от аргумента \mathbf{x} .

Требуется построить модель, соответствующую функции \mathbf{g} , которая обладает следующими свойствами.

Во-первых модель должна быть интерпретируемой. То есть можно построить линейную зависимость выходных данных от входных.

Также модель должна быть точной, то есть минимизировать (1)

$$\int_{\mathbf{X}} (\mathbf{f}(\mathbf{x}) - \mathbf{g}(\mathbf{x}))^2 dx \rightarrow \min \quad (1)$$

Также модель должна быть согласованной, то есть должно выполняться (2)

$$\exists \varepsilon > 0 \forall \mathbf{x}_1, \mathbf{x}_2 \in \mathbf{X} \|\mathbf{x}_1 - \mathbf{x}_2\| < \varepsilon \implies \frac{\partial \mathbf{g}}{\partial \mathbf{x}}(\mathbf{x}_1) = \frac{\partial \mathbf{g}}{\partial \mathbf{x}}(\mathbf{x}_2) \quad (2)$$

3 Интерпретация рекуррентных нейронных сетей

3.1 Метод OpenBox

Рассмотрим рекуррентную нейронную сеть $\mathbf{f}(\mathbf{x})$. Её можно представить в виде нейронной сети, заменив рекуррентные слои на последовательность обыкновенных слоёв нейронов. А именно, пусть дан слой рекуррентной нейронной сети состоящий из n нейронов с кусочно-линейной функцией активации f_i . Обозначим число рекуррентных запусков данного слоя через k . Заменим в архитектуре нейронной сети данный слой на k слоёв, состоящих из n нейронов, с функциями активации f_i . Таким образом, нейронная сеть представляется в виде обыкновенной сети.

Для слоя с номером i

\mathbf{a}_i — вход слоя

\mathbf{h}_i — скрытое состояние

f_i — функция активации

\mathbf{W}_i — матрица линейного преобразования

\mathbf{b}_i — вектор сдвига

Рекуррентная нейронная сеть задаётся соотношением (3)

$$[\mathbf{a}_{i+1}, \mathbf{h}_{i+1}] = f_i(\mathbf{W}_i[\mathbf{a}_i, \mathbf{h}_i] + \mathbf{b}_i) \quad (3)$$

Рассматриваются кусочно-линейные функции активации, то есть

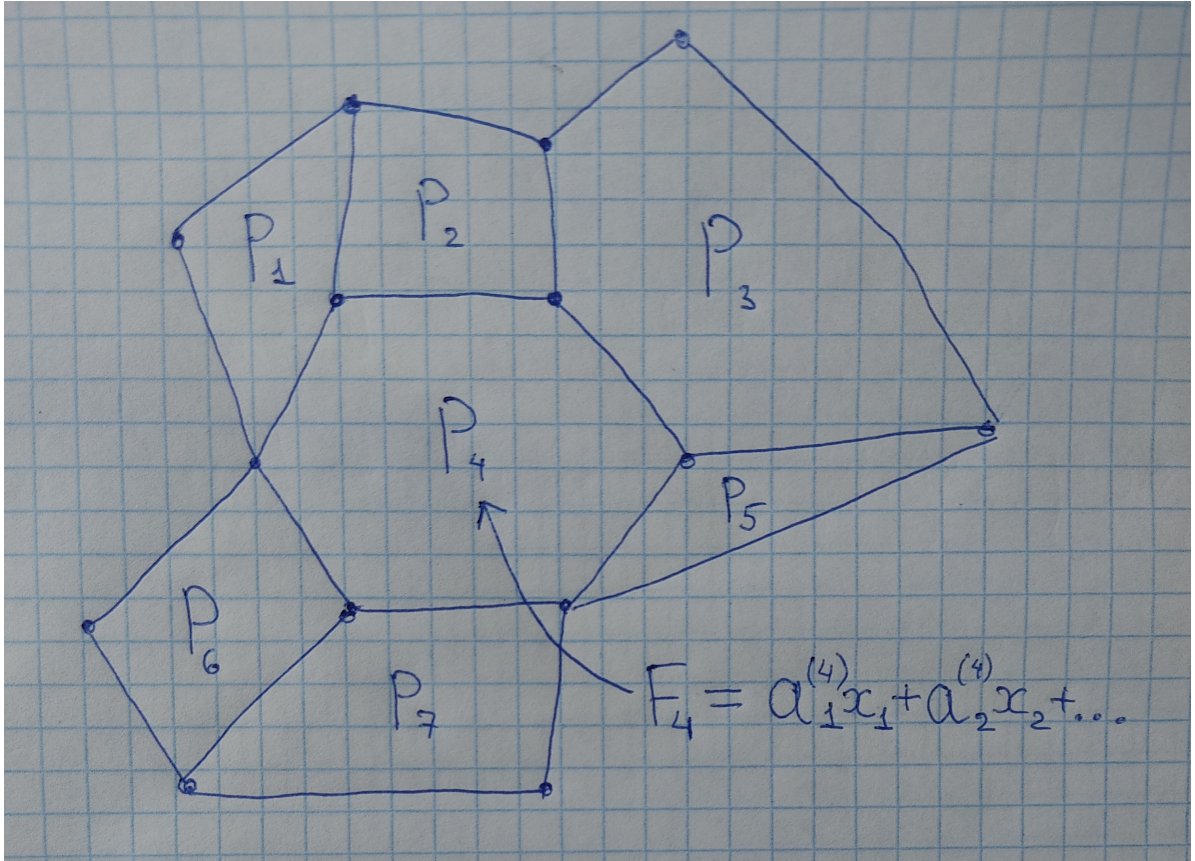
$$f_i(x) = \begin{cases} r_1x + t_1 & \text{if } x \in I_1 \\ r_2x + t_2 & \text{if } x \in I_2 \\ \dots & \dots \\ r_u x + t_u & \text{if } x \in I_u \end{cases}$$

Где I_1, \dots, I_u — разбиение \mathbb{R} .

Для фиксированных входных данных \mathbf{x} каждая кусочно-линейная функция f_i является линейной в некоторой окрестности своего аргумента.

Также условие принадлежности аргумента x интервалу I_j — это неравенство вида $p \leq x \leq q$.

Теорема 1. Пусть дана нейронная сеть $\mathbf{f}(\mathbf{x})$ с кусочно-линейными функциями активации f_i . Тогда её можно представить в виде набора линейных функций F_1, \dots, F_n , каждая из которых определена на выпуклом многограннике $P_1, \dots, P_n \subset \mathbf{X}$.



Доказательство. Рассмотрим произвольный $\mathbf{x}_0 \in \mathbf{X}$. Кусочно-линейные функции активации f_i являются линейными в некоторой окрестности своего аргумента. Причём условие принадлежности аргумента функции f_i к интервалу I_j — это пересечение двух линейных неравенств, каждое из которых задаёт полупространство в пространстве \mathbf{X} . Пересечением такого семейства полупространств является выпуклый многогранник. Помимо этого, композиция линейных функций является линейной функцией.

Таким образом, найден выпуклый многогранник P_h (пересечение семейства полупространств) и линейная функция F_h (композиция линейных функций) такая, что выполнено следующее

$$\forall \mathbf{x} \in P_h \mathbf{f}(\mathbf{x}) = F_h(\mathbf{x})$$

В силу произвольности выбора \mathbf{x}_0 получаем, что всё пространство \mathbf{X} разбивается на выпуклые многогранники P_h , на которых заданы линейные функции F_h .

Нейронная сеть \mathbf{f} имеет конечное число нейронов, значит, имеется конечное число неравенств, задающих полупространства в пространстве \mathbf{X} . А конечное число неравенств задает лишь конечное число выпуклых многогранников. \square

Для решения задачи интерпретации рекуррентных нейронных сетей с кусочно-линейными функциями активации предлагается следующим алгоритм.

1. Вычислить коэффициенты линейного классификатора F_h , (h такое, что $\mathbf{x}_0 \in P_h$) по формуле $\frac{\partial \mathbf{f}}{\partial \mathbf{x}}(\mathbf{x}_0)$
2. Выделить линейные неравенства на \mathbf{x}_0 , соответствующие выпуклому многограннику P_h .
3. Интерпретацией модели на входном объекте \mathbf{x}_0 является набор коэффициентов линейного классификатора F_h , соответствующие им признаки, а также набор условий задающих P_h .

Полученная интерпретируемая модель оказывается математически эквивалентна исходной, то есть выполнено свойство точности (2).

Также модель обладает свойством согласованности (2), так как близкие объекты попадают в один и тот же выпуклый многогранник P_h , а значит, классифицируются одним и тем же линейным классификатором F_h .

3.2 Метод LIME

Рассмотрим метод LIME [11] для выбора интерпретируемых моделей.

Алгоритм построения интерпретируемой модели $\mathbf{g}(\mathbf{x})$

0. Фиксируются константы n и K .
1. Порождаются объекты $\mathbf{x}_1, \mathbf{x}_2, \dots, \mathbf{x}_n$ в окрестности \mathbf{x} .
2. Вычисляются предсказания $\mathbf{y}_1, \mathbf{y}_2, \dots, \mathbf{y}_n$ модели \mathbf{f} на объектах $\mathbf{x}_1, \mathbf{x}_2, \dots, \mathbf{x}_n$. То есть $\mathbf{y}_i = \mathbf{f}(\mathbf{x}_i)$.
3. Построение линейной модели $\mathbf{g}(\mathbf{x})$ с K параметрами происходит при помощи метода наименьших квадратов с для объектов $\mathbf{x}_1, \mathbf{x}_2, \dots, \mathbf{x}_n$ и соответствующих им меток $\mathbf{y}_1, \mathbf{y}_2, \dots, \mathbf{y}_n$.

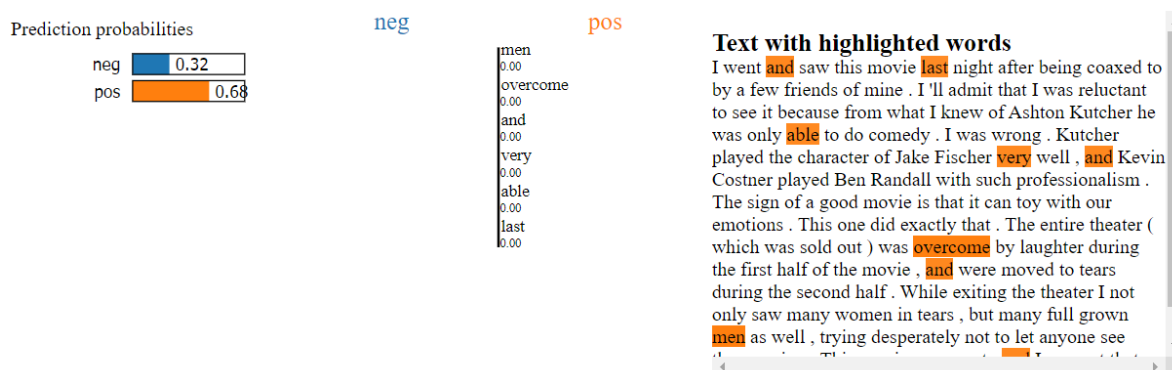
4 Вычислительный эксперимент

В рамках эксперимента рассматривается задача классификации отзывов на ресурсе IMDB. Используется выборка IMDB Movie Review Dataset [10] состоящая из 50 000 отзывов, а также типов отзывов: положительный, отрицательный. Требуется по тексту отзыва определить вероятность принадлежности отзыва к классу положительных и отрицательных.

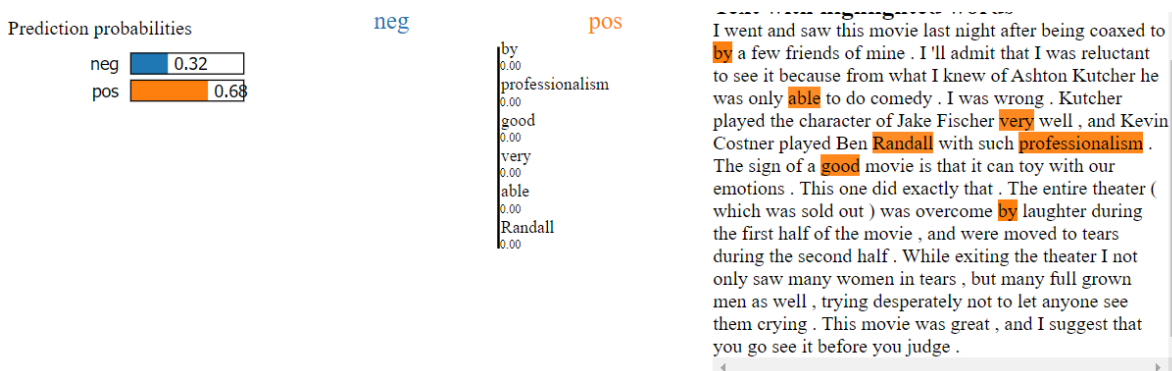
Для решения задачи используется рекуррентная нейронная сеть $f(3)$, аргументом которой являются последовательности предобученных векторов эмбедингов слов отзыва. Рассматриваемая модель имеет 2 592 105 параметров, поэтому она не является интерпретируемой.

Выборка разделена на две части: тренировочную и тестовую, в соотношении 3:1. Модель обучается на тренировочной выборке. После обучения измеряется качество модели на тестовой выборке. Была получена точность классификации (доля верных ответов) 65.55%.

Предсказание полученной методом LIME выглядит следующим образом.



Подсвеченные слова сильнее всего влияют на результат. Как можно заметить, модель отнесла отзыв к положительному классу, основываясь на наличии слов *and*, *able*, *men*, *last*. Очевидно, что данные слова не влияют на характер отзыва. Таким образом, даже не учитывая значение метрики ассигасу, можно сделать вывод, что модель непригодна для использования, так как совершает предсказания на основе нерелевантных признаков.



Второй пример показывает, что интерпретации несогласованны. А именно, значимые слова отличаются. Такой эффект связан с высокой сложностью рассматриваемой модели.

Вышеперечисленных недостатков мы постараемся избежать в новом подходе.

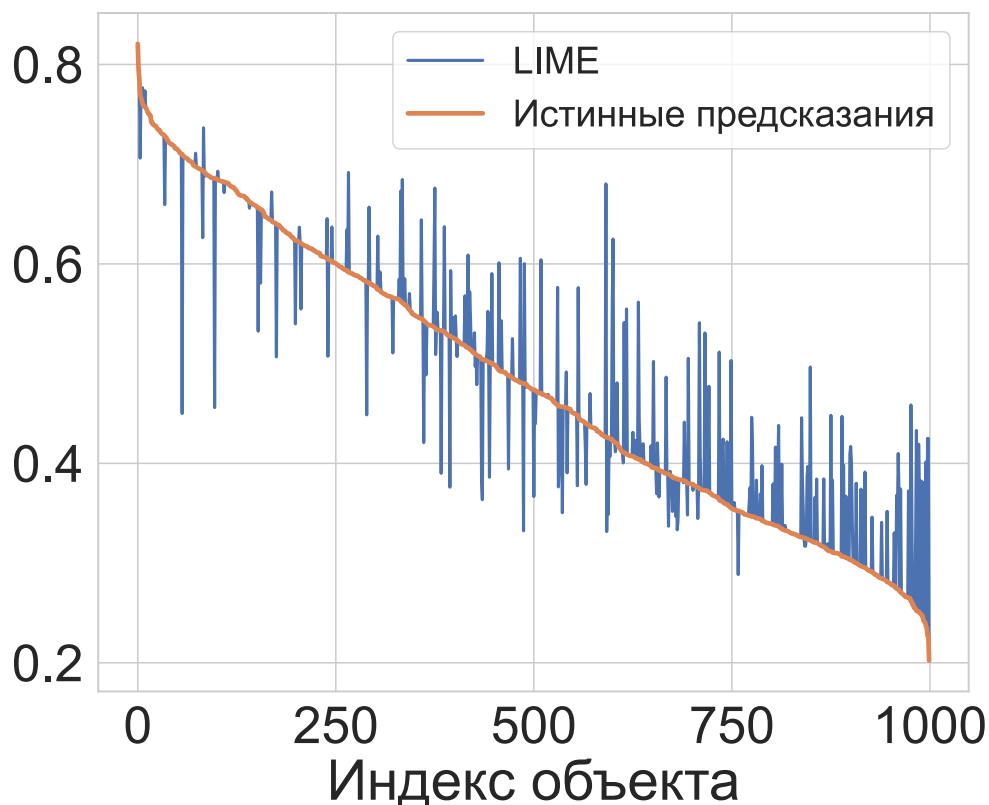
Для оценки качества интерпретации построим следующие графики:

- Распределение предсказаний интерпретируемой модели
- Косинусное расстояние между предсказаниями исходной модели и построенной интерпретируемой модели

5 Анализ ошибки

Зафиксируем выборку размера 1000. Для каждого объекта сгенерируем похожий объект, заменяя некоторые слова на синонимы. Построим интерпретацию на текущем объекте и предскажем вероятность принадлежности к положительному классу для ближайшего объекта. Чем меньше полученная вероятность отличается от вероятности, которую предсказывает исходная модель, тем лучше.

Для метода LIME будем строить предсказывать вероятности не на ближайшем объекте, а на исходном.

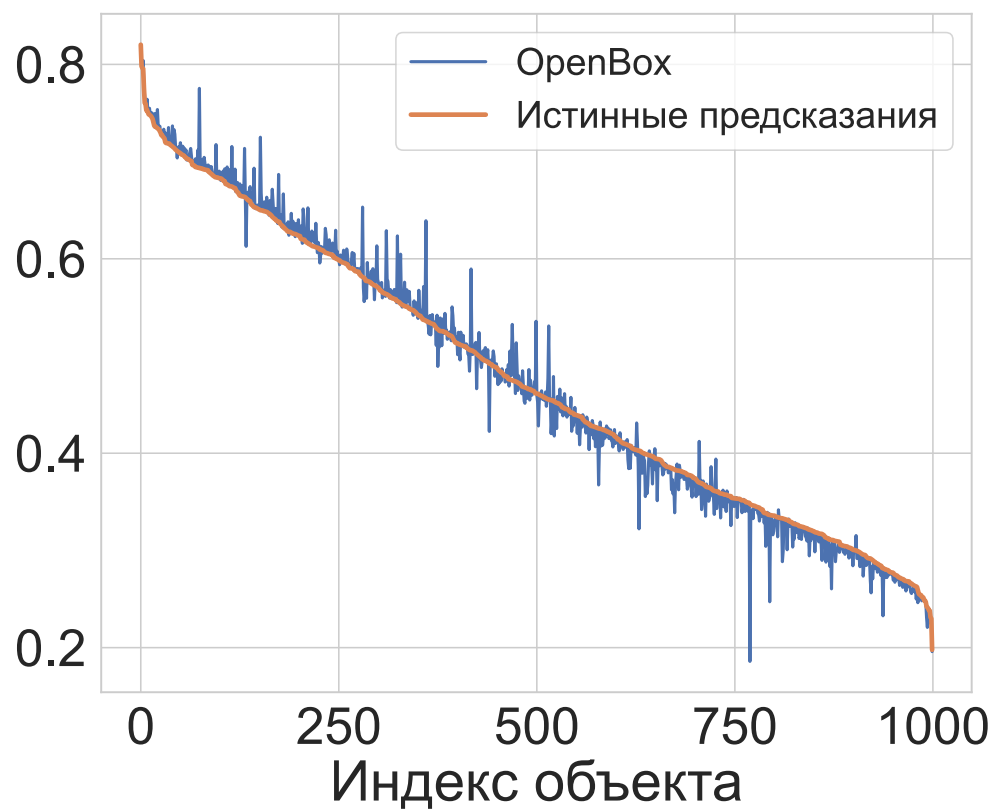


Метод LIME недостаточно точно предсказывает вероятности. График получился шумным, предсказанные вероятности существенно отличаются от истинных значений.



Предсказания, полученные методом LIME, для значительной доли объектов отличаются по косинусному расстоянию.

Рассмотрим теперь метод OpenBox.



Как видно из графика, есть улучшение по сравнению с методом LIME. Предсказанные вероятности меньше отличаются от исходных.

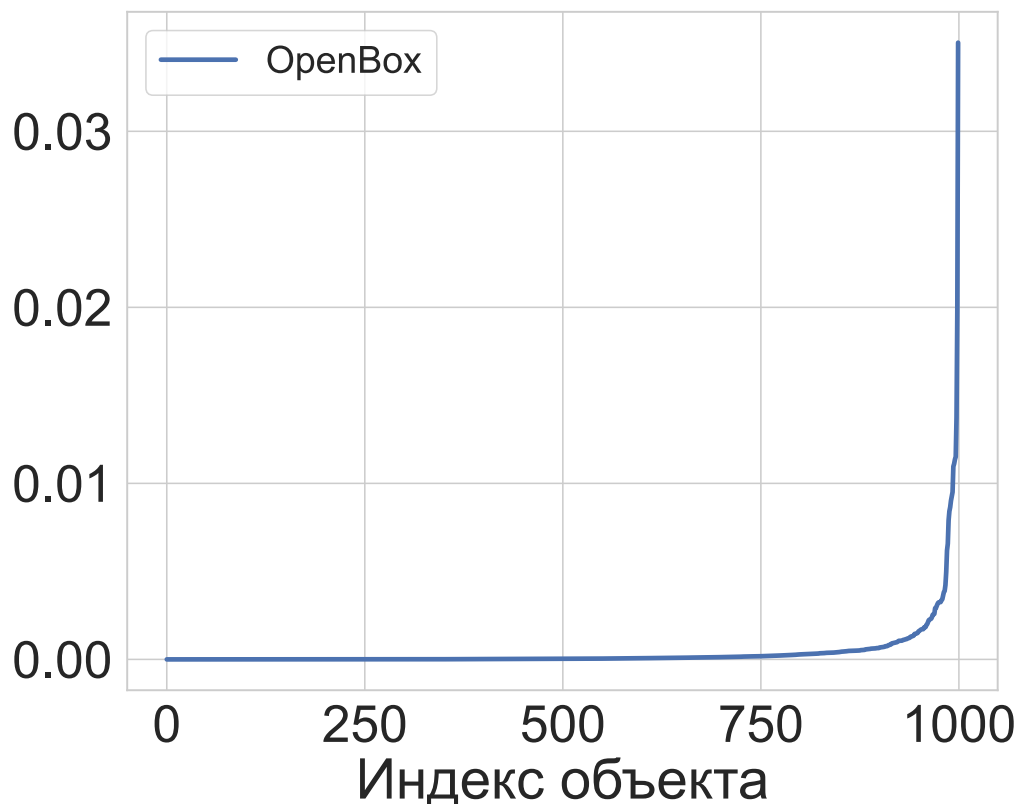


График косинусного расстояния также показывает, что интерпретации полученные методом OpenBox являются согласованными. Есть лишь небольшая доля объектов, на которых наблюдается существенное различие между истинным предсказанием и предсказанием метода.

Вычислим метрики качества.

Метод	RMSE	MAE	MAPE
OpenBox	0.01541	0.00849	0.01923
LIME	0.04085	0.01479	0.03923

Ошибки метода OpenBox меньше, даже несмотря на то, что измерения для данного метода проводились не на исходных объектах, а на похожих.

6 Заключение

В работе был предложен метод выбора интерпретируемой рекуррентной модели глубокого обучения, обладающий свойствами точности и согласованности интерпретаций.

За основу был взят метод OpenBox, предназначенный для интерпретации нейронных сетей с кусочно-линейными функциями активации.

Было проведено сравнение предложенного метода с методом LIME. Точность и согласованность предложенного метода оказалась выше.

В качестве продолжения данной темы можно рассмотреть нелинейные функции активации (такие как гиперболический тангенс, логистическая сигмоида и т.д.). Если обобщить метод на популярные нелинейные функции активации, то появится способ получать интерпретации для многих известных рекуррентных нейронных сетей.

Список литературы

- [1] Zachary C. Lipton, John Berkowitz, and Charles Elkan. A critical review of recurrent neural networks for sequence learning, 2015.
- [2] Alex Sherstinsky. Fundamentals of recurrent neural network (rnn) and long short-term memory (lstm) network. *Physica D: Nonlinear Phenomena*, 404:132306, Mar 2020.
- [3] Lingyang Chu, Xia Hu, Juhua Hu, Lanjun Wang, and Jian Pei. Exact and consistent interpretation for piecewise linear neural networks: A closed form solution, 2019.
- [4] Alexey Dosovitskiy and Thomas Brox. Inverting visual representations with convolutional networks, 2016.
- [5] Bolei Zhou, David Bau, Aude Oliva, and Antonio Torralba. Interpreting deep visual representations via network dissection, 2018.
- [6] Jimmy Ba and Rich Caruana. Do deep nets really need to be deep? In Z. Ghahramani, M. Welling, C. Cortes, N. Lawrence, and K. Q. Weinberger, editors, *Advances in Neural Information Processing Systems*, volume 27. Curran Associates, Inc., 2014.
- [7] Osbert Bastani, Carolyn Kim, and Hamsa Bastani. Interpreting blackbox models via model extraction, 2019.
- [8] Bolei Zhou, Aditya Khosla, Agata Lapedriza, Aude Oliva, and Antonio Torralba. Learning deep features for discriminative localization, 2015.
- [9] Karen Simonyan, Andrea Vedaldi, and Andrew Zisserman. Deep inside convolutional networks: Visualising image classification models and saliency maps, 2014.
- [10] Andrew L. Maas, Raymond E. Daly, Peter T. Pham, Dan Huang, Andrew Y. Ng, and Christopher Potts. Learning word vectors for sentiment analysis. In *Proceedings of the 49th Annual Meeting of the Association for Computational Linguistics: Human Language Technologies*, pages 142–150, Portland, Oregon, USA, June 2011. Association for Computational Linguistics.
- [11] Marco Tulio Ribeiro, Sameer Singh, and Carlos Guestrin. "why should i trust you?": Explaining the predictions of any classifier, 2016.